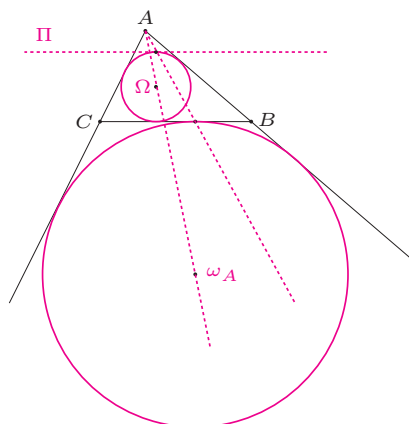


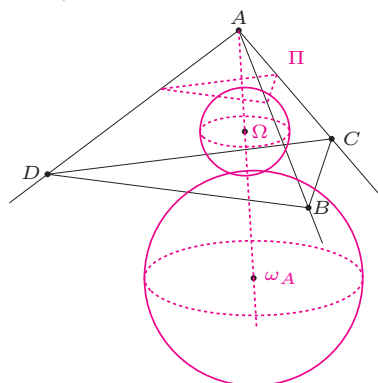
# Konstrukcja sfer dopisanych do czworościanu

\* Student, Wydział Matematyki, Informatyki i Mechaniki, Uniwersytet Warszawski

Łukasz ŁOPACKI\*



Okrąg wpisany  $\Omega$  oraz dopisany do boku  $BC$   $\omega_A$  w trójkącie  $ABC$ . Zauważmy, że mamy jednokładność o środku w  $A$ , która przeprowadza  $\Omega$  na  $\omega_A$  oraz prostą  $\Pi$  styczną do  $\Omega$  i na równoległą do  $BC$  prostą  $BC$ .



Jednokładność przekształcająca  $\Omega$  na  $\omega_A$

Dopisanie sfer do czworościanu okazuje się trudniejsze niż dopisanie okręgów do trójkąta. Żeby zobaczyć dlaczego, spójrzmy najpierw na ten drugi przypadek. Mając dany okrąg wpisany w trójkąt, trzy okręgi dopisane można skonstruować przy użyciu jednokładności. I są to jedyne okręgi styczne jednocześnie do wszystkich trzech prostych wyznaczających boki trójkąta – w pozostałych trzech obszarach (tych przy wierzchołkach) takich okręgów znaleźć się nie da.

W przypadku czworościanu możliwości jest więcej. Płaszczyzny ścian dzielą przestrzeń na piętnaście części: wewnątrz czworościanu, cztery części przy wierzchołkach, cztery przy ścianach i sześć przy krawędziach. Sfery styczne do wszystkich czterech z tych płaszczyzn możemy sklasyfikować na podstawie tego, w której z tych części się znajdują:

- sfera wpisana (której istnienie przyjmujemy za znany fakt),
- sfery dopisane przy ścianach (które skonstruujemy),
- sfery dopisane przy krawędziach (których istnienie zbadamy).

Tak jak dla trójkąta, tak i tutaj obszary przy wierzchołkach nie zawierają sfer dopisanych. Co jednak może zaskakiwać, sfery dopisane przy krawędziach mogą istnieć lub nie. W niniejszym artykule znajdziemy prosty warunek stwierdzający, kiedy istnieją.

## Sfery dopisane przy ścianach

Weźmy dowolny czworościan  $ABCD$ , oznaczmy jego objętość przez  $V$ , a pole ścian  $BCD$ ,  $ACD$ ,  $ABD$  i  $ABC$  odpowiednio jako  $S_A$ ,  $S_B$ ,  $S_C$  i  $S_D$ . Sferę wpisaną w czworościan, czyli sferę znajdującą się w jego wnętrzu, będziemy oznaczać przez  $\Omega$ .

Skonstruujemy sferę dopisaną przy ścianie  $BCD$ , dalej nazywaną  $\omega_A$ . W tym celu oznaczmy płaszczyznę styczną do  $\Omega$ , równoległą do płaszczyzny  $BCD$  i różną od niej jako  $\Pi$ . Rozważmy jednokładność o środku  $A$  i skali dodatniej, przekształcającą  $\Pi$  na płaszczyznę  $BCD$ . Obraz  $\Omega$  w tej jednokładności będzie sferą dopisaną przy  $BCD$ .

Istnienie opisanej wyżej jednokładności uzasadnimy teraz w sposób, który okaże się przydatny w dalszej części artykułu. Taka jednokładność istnieje wtedy i tylko wtedy, kiedy  $\Pi$  i płaszczyzna  $BCD$  znajdują się po tej samej stronie płaszczyzny równoległej do nich obu, zawierającej punkt  $A$ . A ponieważ punkt  $A$  i  $\Pi$  znajdują się po tej samej stronie płaszczyzny  $BCD$ , więc jest to równoważne warunkowi:

$$d(A, BCD) > d(\Pi, BCD), \quad \text{gdzie } d(X, Y) \text{ oznacza odległość między } X \text{ i } Y.$$

Lewa strona nierówności to wysokość czworościanu  $ABCD$  wychodząca z  $A$ , a prawa to średnica sfery  $\Omega$ . Ta obserwacja pozwala wyrazić obie strony nierówności poprzez objętość czworościanu i pola jego ścian (zob. margines):

$$\frac{3V}{S_A} > \frac{6V}{S_A + S_B + S_C + S_D},$$

czyli po prostych przekształceniach

$$S_B + S_C + S_D > S_A.$$

O prawdziwości powyższej nierówności można się przekonać, porównując pola ścian z polami ich rzutów na płaszczyznę  $BCD$ . Sfera dopisana przy ścianie zawsze więc istnieje. Możemy też obliczyć skalę  $k$  szukanej jednokładności:

$$k = \frac{d(A, BCD)}{d(A, \Pi)} = \frac{\frac{3V}{S_A}}{\frac{3V}{S_A} - \frac{6V}{S_A + S_B + S_C + S_D}} = \frac{S_A + S_B + S_C + S_D}{S_B + S_C + S_D - S_A},$$

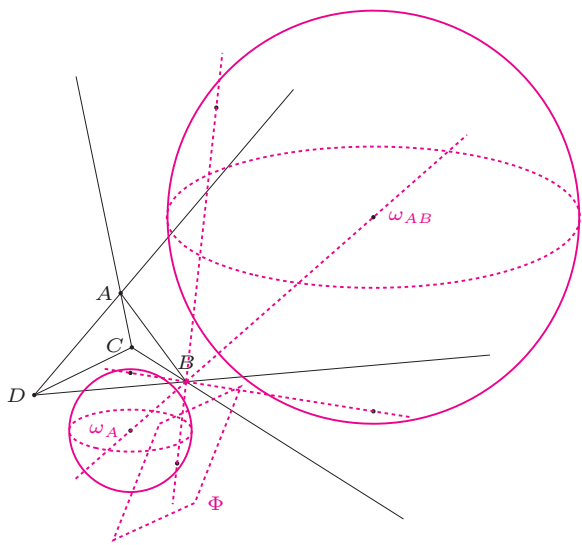
skąd odczytujemy, że długość promienia  $\omega_A$  wynosi  $\frac{3V}{S_B + S_C + S_D - S_A}$ .

Wzory na objętość czworościanu:

$$V = \frac{1}{3}h \cdot S_A,$$

$$V = \frac{1}{3}r \cdot (S_A + S_B + S_C + S_D),$$

gdzie  $h$  to wysokość z  $A$ , a  $r$  to promień sfery wpisanej. Drugi wzór otrzymuje się z pierwszego, dzieląc czworościan na cztery mniejsze czworościany o wysokości  $r$ .



Jednokładność przekształcająca  $\omega_A$  na  $\omega_{AB}$

## Sfery dopisane przy krawędziach

Przejdziemy teraz do konstrukcji sfery dopisanej przy krawędzi. Bardziej konkretnie, będziemy chcieli skonstruować sferę – oznaczaną odtąd przez  $\omega_{AB}$  – znajdującą się w tej części przestrzeni, która leży przy krawędzi  $AB$ .

Oznaczmy płaszczyznę styczną do  $\omega_A$  równoległą do płaszczyzny  $ACD$  i różną od niej jako  $\Phi$ . Podobnie do poprzedniego przypadku, możemy stwierdzić, że istnienie  $\omega_{AB}$  jest równoważne istnieniu jednokładności o środku w  $B$ , przekształcającej  $\Phi$  na płaszczyznę  $ACD$ , tym razem jednak o skali ujemnej. Istotnie, jeśli szukana sfera  $\omega_{AB}$  istnieje, to  $\omega_{AB}$  i  $\omega_A$  znajdują się w kątach trójściennych wierzchołkowych przy  $B$ , więc jednokładność o pewnej ujemnej skali przeprowadza jedną na drugą.

Taka jednokładność istnieje wtedy i tylko wtedy, kiedy  $\Phi$  i płaszczyzna  $ACD$  znajdują się po przeciwnych stronach płaszczyzny równoległej do nich obu, zawierającej punkt  $B$ . A ponieważ punkt  $B$  i  $\Phi$  znajdują się po tej samej stronie płaszczyzny  $ACD$ , więc istnienie szukanej jednokładności jest równoważne warunkowi:

$$d(B, ACD) < d(\Phi, ACD).$$

Tym razem lewa strona to wysokość  $ABCD$  wychodząca z  $B$ , a prawa to średnica  $\omega_A$ , więc – tak jak poprzednio – obie strony nierówności możemy wyrazić poprzez objętość czworościanu i pola jego ścian. Opierając się na wyznaczonym wcześniej promieniu  $\omega_A$ , otrzymujemy więc równoważną formę nierówności:

$$\frac{3V}{S_B} < \frac{6V}{S_B + S_C + S_D - S_A}, \quad \text{czyli} \quad S_C + S_D < S_A + S_B.$$

Jest to warunek konieczny i wystarczający dla istnienia  $\omega_{AB}$ . Analogicznie do konstrukcji  $\omega_A$ , wyliczamy skalę  $k$  otrzymanej jednokładności oraz promień  $r_{AB}$  sfery  $\omega_{AB}$ :

$$k = \frac{S_B + S_C + S_D - S_A}{S_C + S_D - S_A - S_B}, \quad r_{AB} = \frac{3V}{S_A + S_B - S_C - S_D}.$$

### Co się dzieje, gdy sfery dopisanej nie ma?

Przekonaliśmy się, że w przypadku  $S_C + S_D > S_A + S_B$  sfera dopisana przy krawędzi  $AB$  nie istnieje. Jednak wykorzystywana w jej konstrukcji jednokładność  $J_B^\alpha$  o środku w  $B$  i skali  $\alpha = \frac{S_B + S_C + S_D - S_A}{S_C + S_D - S_A - S_B}$  nadal jest dobrze określona. Czym więc jest obraz  $J_B^\alpha(\omega_A)$  sfery  $\omega_A$ ?

Możemy w tym przypadku zauważyć, że jednokładność ta ma skalę dodatnią oraz że  $\Phi$  i płaszczyzna  $ACD$  leżą po tej samej stronie płaszczyzny równoległej do nich obu, zawierającej punkt  $B$ . Ponadto skala  $\alpha$  jest tak dobrana, że  $J_B^\alpha(\Phi) = ACD$ ; oznacza to, że sfera  $J_B^\alpha(\omega_A)$  jest styczna do wszystkich czterech płaszczyzn zawierających ściany czworościanu. Znajduje się ponadto w części przestrzeni przy krawędzi  $CD$ , więc jest to nic innego, jak sfera  $\omega_{CD}$  dopisana przy krawędzi  $CD$ .

Na zakończenie możemy więc sformułować ogólny wniosek:

$$J_B^\alpha(\omega_A) = \begin{cases} \omega_{AB} & \text{jeśli } S_A + S_B > S_C + S_D, \\ \omega_{CD} & \text{jeśli } S_A + S_B < S_C + S_D. \end{cases}$$

W pominiętym wyżej przypadku  $S_A + S_B = S_C + S_D$  skala jednokładności  $\alpha$  nie jest dobrze określona; jak już zauważyliśmy, żadna ze sfer  $\omega_{AB}$ ,  $\omega_{CD}$  wówczas nie istnieje. Analogicznie możemy skonstruować pozostałe sfery dopisane i przekonać się, że sfery dopisane przy przeciwległych krawędziach wzajemnie się wykluczają.

